

**Zeitschrift:** Bulletin de l'Association suisse des électriciens  
**Herausgeber:** Association suisse des électriciens  
**Band:** 37 (1946)  
**Heft:** 18

**Artikel:** Zur Theorie des Frequenz-Diskriminators  
**Autor:** Güttinger, P.  
**DOI:** <https://doi.org/10.5169/seals-1057348>

#### Nutzungsbedingungen

Die ETH-Bibliothek ist die Anbieterin der digitalisierten Zeitschriften auf E-Periodica. Sie besitzt keine Urheberrechte an den Zeitschriften und ist nicht verantwortlich für deren Inhalte. Die Rechte liegen in der Regel bei den Herausgebern beziehungsweise den externen Rechteinhabern. Das Veröffentlichen von Bildern in Print- und Online-Publikationen sowie auf Social Media-Kanälen oder Webseiten ist nur mit vorheriger Genehmigung der Rechteinhaber erlaubt. [Mehr erfahren](#)

#### Conditions d'utilisation

L'ETH Library est le fournisseur des revues numérisées. Elle ne détient aucun droit d'auteur sur les revues et n'est pas responsable de leur contenu. En règle générale, les droits sont détenus par les éditeurs ou les détenteurs de droits externes. La reproduction d'images dans des publications imprimées ou en ligne ainsi que sur des canaux de médias sociaux ou des sites web n'est autorisée qu'avec l'accord préalable des détenteurs des droits. [En savoir plus](#)

#### Terms of use

The ETH Library is the provider of the digitised journals. It does not own any copyrights to the journals and is not responsible for their content. The rights usually lie with the publishers or the external rights holders. Publishing images in print and online publications, as well as on social media channels or websites, is only permitted with the prior consent of the rights holders. [Find out more](#)

**Download PDF:** 13.01.2026

**ETH-Bibliothek Zürich, E-Periodica, <https://www.e-periodica.ch>**

der wirtschaftlichen Auslegung der Leistungsgrösse der Wärmepumpe sowie der zweckmässigen Ausbildung der Fernheizung bedeutende Ersparnisse

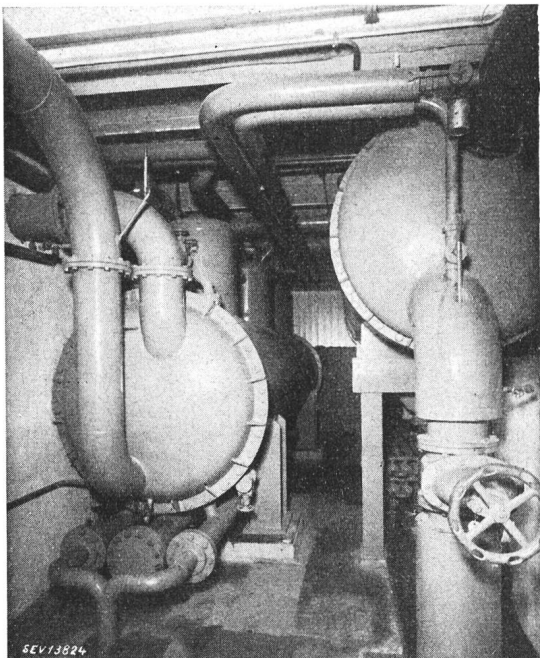


Fig. 14.

Verdampfer (links) und Kondensator (rechts) der Wärmepumpenanlage

gegenüber dem früheren Betrieb erzielt werden konnten. Systematische Betriebsberhebungen sind für die nächste Heizperiode vorgesehen; es soll zu gegebener Zeit darüber berichtet werden.

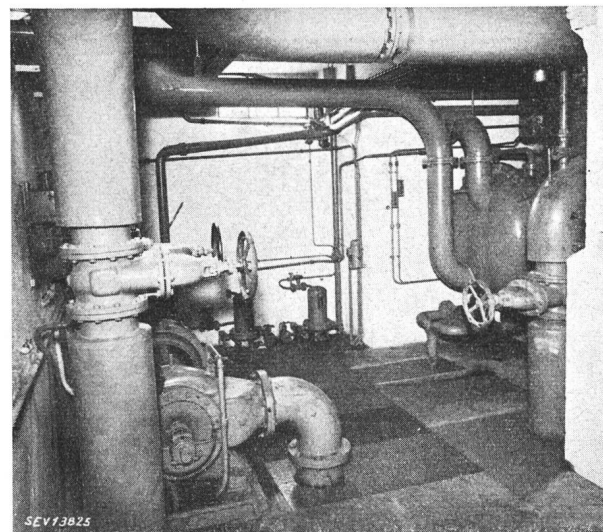


Fig. 15.

Grundwasserpumpe und automatische Regulierventile der Wärmepumpenanlage

Rechts im Hintergrund der Verdampfer (siehe Fig. 14)

**Adresse des Autors:**

Dr. sc. techn. R. Ruegg, Hönggerstr. 133, Zürich 10.

## Zur Theorie des Frequenz-Diskriminators

Von P. Güttinger, Baden

621.393.619.018.41 : 621.395.62

Ausgehend von Arbeiten anderer Autoren (vgl. Literaturverzeichnis am Schluss) wird hier eine allgemeine Theorie des Diskriminators entwickelt. Es werden die Linearitätsbedingungen von einem neuen Gesichtspunkte aus betrachtet. Die Untersuchung bezieht sich vor allem auf den Fall der Demodulation von FM-Schwingungen. Dort bildet bekanntlich die möglichst unverzerrte Umformung der Frequenzmodulation in Amplitudenmodulation das Hauptproblem.

Partant des travaux d'autres auteurs, (cf. liste à la fin de l'exposé) une théorie générale du discriminateur a été développée dans cet article. Les conditions de linéarité ont été envisagées d'un point de vue nouveau. Les recherches se rapportent avant tout à la démodulation d'ondes modulées en fréquence. Dans ce domaine le problème principal est la conversion, avec le moins de distorsion possible, de la modulation de fréquence en modulation d'amplitude.

Ein Schaltungselement der Hochfrequenztechnik, welches in neuerer Zeit eine besondere Bedeutung erlangt hat, ist der Diskriminator. Seine Aufgabe besteht darin, feste Frequenzen zu messen und zu kontrollieren (Frequenzregulierung von Sendern) oder die Modulation variabler Frequenzen zu «diskriminieren» (Umwandlung von Frequenz- in Amplitudenmodulation bei Empfängern).

Die einfachste Form des Diskriminators besteht in einer Drosselspule, welche von einem Wechselstrom *konstanter Amplitude*

$$i = A_0 \sin(\omega t + \varphi)$$

durchflossen wird (Fig. 1). Da die an *L* entstehende Spannung

$$u = L \frac{di}{dt} = A_0 L \omega \cos(\omega t + \varphi)$$

der Kreisfrequenz  $\omega = 2\pi f$  proportional ist, kann mit Hilfe eines Amplitudengleichrichters, z. B. mit-

tels einer Diode, die Frequenz direkt gemessen werden.

Indessen wird diese primitive Form des Diskriminators in der Hochfrequenztechnik nur sehr selten verwendet, hauptsächlich darum, weil sein Wir-

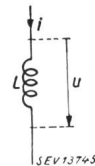


Fig. 1.

Drosselspulen-Diskriminator

*L* Induktivität. *i* HF-Strom.

*u* Spannung über *L*.

kungsgrad ungenügend ist. Die in der Hochfrequenztechnik festzustellenden Frequenzänderungen sind relativ gering, so dass die Amplitudenvariationen von *u* fast unmessbar klein werden.

Auch ein gewöhnlicher Resonanzkreis (Fig. 2) kann als Diskriminator verwendet werden, wobei der Wirkungsgrad gegenüber der nicht abgestimmten Induktivität viel höher ist. Dieses Verfahren

wird ebenfalls verhältnismässig wenig verwendet, weil der *lineare* Aussteuerungsbereich an der Flanke der Resonanzkurve relativ klein ist.

Die Schaltung, die in der Praxis am meisten Verbreitung gefunden hat, ist der *Phasensprung-Diskriminator*, der in Fig. 3 dargestellt ist. In dieser

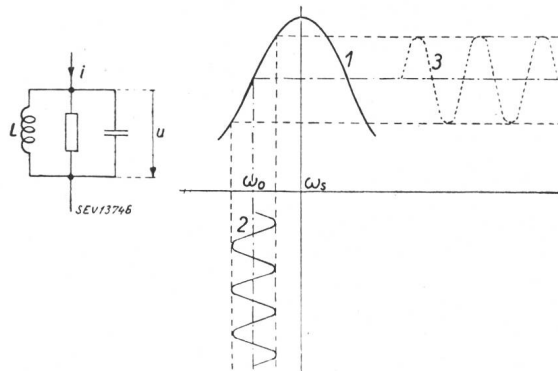


Fig. 2.  
Resonanzkreis-Diskriminator

$\omega_0$  Trägerfrequenz.  $\omega_s$  Resonanzfrequenz des Filters. 1 Resonanzkurve. 2 frequenzmodulierter Strom  $i$ . 3 amplitudenmodulierte Spannung  $u$ .

Schaltung sollen die Kapazitäten  $C_K$  und  $C_S$  so gross dimensioniert sein, dass sie für die Hochfrequenzströme praktisch einen Kurzschluss bilden. Für die Dioden-Richtströme sind nun die Amplituden der an den Dioden angelegten Hochfrequenzspannungen massgebend. Diese betragen an der einen Diode  $|u_1 + \frac{1}{2} u_2|$ , und an der andern Diode  $|u_1 - \frac{1}{2} u_2|$ . Da der Diskriminator in seinem

Schaltungs-Aufbau einem zweikreisigen Bandfilter entspricht, lassen sich die Spannungswerte  $u_1$  und  $u_2$  nach bekannten Formeln berechnen.

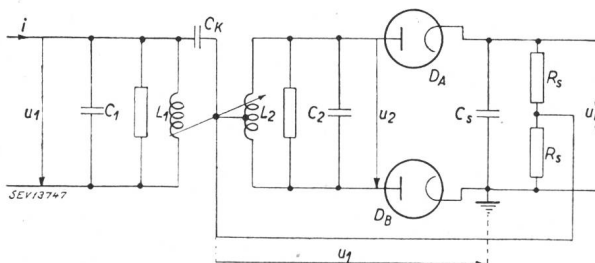


Fig. 3.  
Phasensprung-Diskriminator

$i$  frequenzmodulierter Strom.  $u_1$  Eingangsspannung des Filters.  $u_2$  Ausgangsspannung des Filters.  $u_{NF}$  niederfrequente Ausgangsspannung des Diskriminators.  $D_A$  und  $D_B$  Dioden.  $C_1$ ,  $L_1$  Primärkreis.  $C_2$ ,  $L_2$  Sekundärkreis.  $C_K$  Koppelungskapazität.  $C_S$  Kapazität für HF-Kurzschluss.  $R_S$  ohmsche Widerstände.

Zunächst soll aber aus Gründen der Anschaulichkeit die Wirkungsweise kurz anhand eines Vektordiagrammes erklärt werden (Fig. 4).

Sind sowohl Primär- wie Sekundärkreis (entkoppelt) auf die Frequenz des Stromes  $i$  abgestimmt, so sind die Amplituden  $OP = A$  und  $OQ = B$  der Diodenspannungen gleich. Die resultierende Span-

nung  $u_{NF} \approx A - B$  wird dann Null, da die beiden Richtströme, welche durch  $R_S$  fliessen, entgegengesetzt gleich sind.

Wenn nun die Frequenz des Primärstromes  $i$  nicht mehr mit der Symmetriefrequenz des Bandfilters übereinstimmt, steht  $u_2$  (als Vektor) nicht

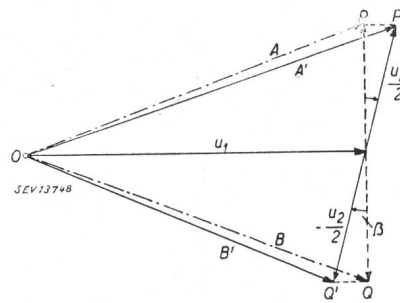


Fig. 4.  
Vektorielle Darstellung der Spannungsverhältnisse beim Phasensprung-Diskriminator

$A$  und  $B$  Vektoren der Spannungen über den Diodenstrecken  $D_A$  und  $D_B$  für  $\omega = \omega_s$ .  $A'$  und  $B'$  dieselben Vektoren für  $\omega \neq \omega_s$ .  $\beta$  Abweichung der Vektoren der Sekundärspannungen  $+ \frac{u_2}{2}$  und  $- \frac{u_2}{2}$  von der  $90^\circ$ -Lage bei  $\omega \neq \omega_s$ ,  $\omega$  Kreisfrequenz der frequenzmodulierten Eingangsspannung.  $\omega_s$  Resonanzfrequenz des Filters.

mehr senkrecht auf  $u_1$ , sondern erscheint um den Winkel  $\beta$  aus der  $90^\circ$ -Lage verschoben. Wir erhalten dann das Vektorbild  $OP'Q'$ . Die Spannung  $u_{NF}$ , welche der Differenz  $OP' - OQ'$  proportional ist, wird nicht mehr Null, sondern um so grösser, je mehr die Eingangsfrequenz von der Diskriminator-Frequenz  $\omega_s$  abweicht. Den funktionellen Zusammenhang zwischen  $u_{NF}$  und  $\Delta = \omega - \omega_s$  ersehen wir aus der sog. *Diskriminator-Charakteristik* (Fig. 5).

Die Theorie des Diskriminators ist schon von verschiedenen Autoren in Angriff genommen worden; es sei an die sehr schöne Darstellung von Sturley<sup>1)</sup>

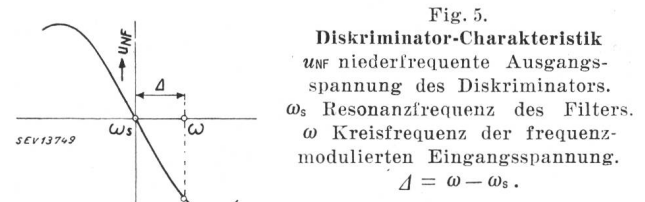


Fig. 5.

Diskriminator-Charakteristik  
 $u_{NF}$  niederfrequente Ausgangsspannung des Diskriminators.  
 $\omega_s$  Resonanzfrequenz des Filters.  
 $\omega$  Kreisfrequenz der frequenzmodulierten Eingangsspannung.  
 $\Delta = \omega - \omega_s$ .

erinnert. Von diesem Verfasser wurde z. B. rechnerisch die Steilheit der  $u_{NF}(\omega)$ -Kennlinie untersucht. Ferner wurde auf Grund graphischer Methoden auch die *Linearität* dieser Kennlinie betrachtet.

Ziel der vorliegenden Arbeit soll sein, die Linearitätsverhältnisse auch formelmässig zu erfassen.

Dabei gehen wir von den bekannten Beziehungen (in komplexer Schreibweise) aus:

$$u_1 = i \omega_s L_1 Q_1 \frac{1 + 2j \frac{\Delta Q_2}{\omega_s}}{(1 + \alpha^2) - 4 \frac{\Delta^2}{\omega_s^2} Q_1 Q_2 + 2j \frac{\Delta}{\omega_s} (Q_1 + Q_2)} \quad (1)$$

<sup>1)</sup> Vgl. Literaturverz. (4)

$$u_2 = -i\omega_s L_1 Q_1 \frac{j\alpha \sqrt{\frac{L_2 Q_2}{L_1 Q_1}}}{(1+\alpha^2) - 4 \frac{J^2}{\omega_s^2} Q_1 Q_2 + 2j \frac{J}{\omega_s} (Q_1 + Q_2)} \quad (2)$$

Die Bedeutung der neu auftretenden Größen ist:

$Q_1$  Gütefaktor des Primärkreises (entkoppelt)  
 $Q_2$  Gütefaktor des Sekundärkreises (entkoppelt)

$\alpha = M \cdot \sqrt{\frac{Q_1 Q_2}{L_1 L_2}}$  Kopplungsmass  
 $(\alpha = 1$  kritische Kopplung)

$M$  Gegenseitige Induktivität von  $L_1$  und  $L_2$

$i = \sqrt{-1}$  (imaginäre Einheit)

Sind Primär- und Sekundärkreis auf die gleiche Frequenz  $\omega_s$  abgestimmt (in ungekoppeltem Zustand), so berechnet sich die letzten Endes interessierende Größe  $u_{NF}$  zu:

$$u_{NF} = K L_1 Q_1 \left\{ \left| u_1 - \frac{u_2}{2} \right| - \left| u_1 + \frac{u_2}{2} \right| \right\} \quad (3)$$

wo  $K$  eine Konstante bedeutet.

Setzt man die Werte von  $u_1$  und  $u_2$  gemäß den Gl. (1) und (2) ein und werden für die weitere Rechnung noch folgende Abkürzungen eingeführt:

$$a_1 = \frac{\alpha \frac{Q_2}{Q_1} \sqrt{\frac{L_2}{L_1}}}{1 + \frac{\alpha^2}{4} \cdot \frac{L_2 Q_2}{L_1 Q_1}} \quad (4)$$

$$a_2 = \frac{\frac{Q_2}{Q_1}}{1 + \frac{\alpha^2}{4} \cdot \frac{L_2 Q_2}{L_1 Q_1}} \quad (5)$$

$$b_1 = -\frac{2\alpha^2 - \frac{Q_1}{Q_2} - \frac{Q_2}{Q_1}}{(1+\alpha^2)^2} \quad (6)$$

$$b_2 = \frac{1}{(1+\alpha^2)^2} \quad (7)$$

$$x = \frac{2J \sqrt{Q_1 Q_2}}{\omega_s} \quad (8)$$

so geht Gl. (3) in die neue Form über:

$$u_{NF} = K L_1 \sqrt{Q_1 Q_2} \sqrt{\frac{b_2}{a_2}} \left\{ \sqrt{\frac{1 + a_1 x + a_2 x^2}{1 + b_1 x^2 + b_2 x^4}} - \sqrt{\frac{1 - a_1 x + a_2 x^2}{1 + b_1 x^2 + b_2 x^4}} \right\} \quad (9)$$

Unter der (stillschweigend gemachten) Voraussetzung, dass der Diskriminator absolut symmetrisch sei, lässt sich  $u_{NF}$  in eine Potenzreihe

$$u_{NF} = x \left( \frac{du_{NF}}{dx} \right)_{x=0} + \frac{x^3}{3!} \left( \frac{d^3 u_{NF}}{dx^3} \right)_{x=0} + \dots + \frac{x^5}{5!} \left( \frac{d^5 u_{NF}}{dx^5} \right)_{x=0} + \dots \quad (10)$$

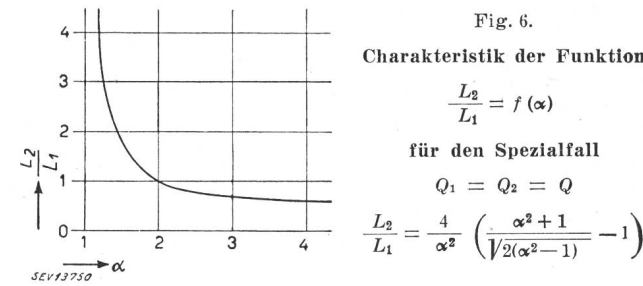
entwickeln, welche nur ungerade Potenzen von  $x$  enthält. Erwünscht ist eine möglichst gute Linearität. Diese wird erreicht, wenn die höheren Ableitungen von  $u_{NF}$  möglichst klein sind. Durch geeignete Wahl der 3 zur Verfügung stehenden Parameter  $\alpha$ ,  $\frac{Q_2}{Q_1}$  und  $\frac{L_2}{L_1}$  ist es möglich, die Gleichung

$$\left( \frac{d^3 u_{NF}}{dx^3} \right)_{x=0} = 0 \quad (11)$$

zu erfüllen. Die etwas umständliche Rechnung sei hier nicht ausgeführt, sondern lediglich das Resultat angegeben, welches zur Bedingung führt:

$$1 + \frac{\alpha^2}{4} \cdot \frac{L_2 Q_2}{L_1 Q_1} = \frac{(1 + \alpha^2) \sqrt{\frac{Q_2}{Q_1}}}{\sqrt{2\alpha^2 - \left( \frac{Q_1}{Q_2} + \frac{Q_2}{Q_1} \right)}} \quad (12)$$

Für einen Spezialfall ( $Q_1 = Q_2 = Q$ ) ist der Verlauf des Induktivitätsverhältnisses  $\frac{L_2}{L_1}$  als Funktion von  $\alpha$  in Fig. 6 aufgetragen.



Ist durch geeignete Wahl der Schaltelemente Gl. (12) erfüllt, so kann man auf eine recht gute Linearität rechnen. Für  $Q_2 = Q_1 = Q$  und  $\alpha = 1,5$  resp.  $\alpha = 2$  ist der Verlauf von  $u_{NF}$  in Abhängigkeit von  $x$  aus Fig. 7 ersichtlich.

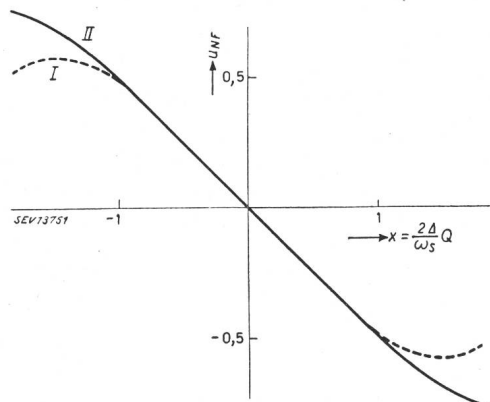


Fig. 7.  
Diskriminator-Kennlinien  $u_{NF} = f(x)$  für den Fall  
 $Q_1 = Q_2 = Q$

$$\text{Kennlinie } I: \alpha = 1,5 \quad \frac{L_2}{L_1} = 1,88$$

$$\text{Kennlinie } II: \alpha = 2 \quad \frac{L_2}{L_1} = 1,04$$

Interessant ist, dass die Möglichkeit besteht, auch noch die folgende Bedingung zu erfüllen:

$$\left( \frac{d^5 u_{NF}}{dx^5} \right)_{x=0} = 0 \quad (13)$$

Sollen Gl. (11) und (13) gleichzeitig gelten, so muss außerdem noch

$$1 - \frac{\alpha^2}{4} \cdot \frac{L_2 Q_2}{L_1 Q_1} = \frac{(1 + \alpha^2)^2}{\left[ 2\alpha^2 - \left( \frac{Q_1}{Q_2} + \frac{Q_2}{Q_1} \right) \right]^2} \quad (14)$$

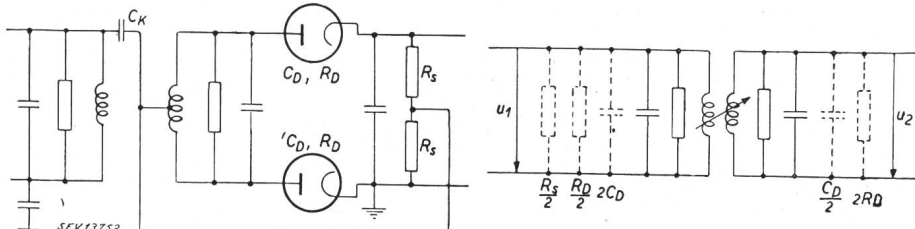


Fig. 8.

**Prinzip- und Ersatzschaltung eines Phasensprung-Diskriminators**  
 $C_K$  Diodenkapazität,  $R_D$  Diodendämpfung,  $R_s$  ohmsche Widerstände,  $C_K$  Koppelungskapazität,  $u_1$  Eingangsspannung,  $u_2$  Ausgangsspannung.

sein. Es zeigt sich nun, dass es reelle Lösungen von Gl. (12) und Gl. (14) gibt, wenn  $|\alpha| > 2,3$  ist.

So wird z. B. für

$$\alpha = 2,5 \quad \frac{Q_2}{Q_1} = 0,49 \text{ und } \frac{L_2}{L_1} = 0,79$$

$$\alpha = 3 \quad \frac{Q_2}{Q_1} = 0,36 \text{ und } \frac{L_2}{L_1} = 0,69$$

Bei Einhaltung dieser Werte erhält man tatsächlich eine sehr gute Diskriminator-Charakteristik. Da aber der Sekundärkreis 2—3mal stärker gedämpft werden müsste, ist die Erfüllung von Gl. (14) prak-

tisch wenig interessant, es sei denn, man könne den Primärkreis sehr hochohmig dimensionieren.

Zum Schluss soll noch ein Punkt erwähnt werden, und zwar der Einfluss der Diodenkapazitäten und der Diodendämpfung. Die Formeln (1) und (2) gelten eigentlich nur, wenn die Impedanz der Dioden unendlich gross ist. Man kann aber zeigen, dass die hier abgeleitete Theorie streng gilt, wenn man zur Bestimmung von  $u_1$  und  $u_2$  das Ersatzschema nach Fig. 8 wählt.

#### Literatur

1. Foster, D. E., und Seeley, S. W.: Automatic tuning simplified circuits and design practice. Proc. Inst. Radio Engrs. Bd. 25 (1937), Nr. 3, S. 289 ff.
2. Roder, H.: Theory of the discrimination circuit for automatic frequency control. Proc. Inst. Radio Engrs. Bd. 26 (1938), Nr. 5, S. 590 ff.
3. Crosby, M. G.: A method of measuring frequency deviation. RCA-Rev. Bd. 4 (1940), Nr. 4, S. 473...477.
4. Sturley, K. R.: The phase discriminator and its use as frequency-amplitude converter for frequency-modulated reception. Wirel. Engr. Bd. 21 (1944), Nr. 245, S. 72...78 (s. Referat auf S. 540...544).
5. Arguibau, L. B.: Discriminator linearity. Electronics Bd. 18 (1945), Nr. 3, S. 142 ff.

#### Adresse des Autors:

Dr. P. Güttinger, A.-G. Brown, Boveri & Cie., Baden.

## Die Hochspannungs-Fluoreszenzröhre als Lichtquelle

Von W. Gruber, Neuhausen

621.327.4 : 535.57

Nach einer kurzen Darlegung des Unterschiedes zwischen Hochspannungs- und Niederspannungs-Fluoreszenzröhren wird über Entwicklungsgeschichte, Aufbau und Qualitätsmerkmale der Hochspannungs-Fluoreszenzröhre berichtet, sowie der elektrische Betrieb und die Lichtstromregulierung beschrieben. Eine Röhren-Anschlussabelle gibt interessante Aufschlüsse über den Zusammenhang zwischen Röhrenlänge und Zündspannung. Zum Schluss weist der Autor darauf hin, dass bei Befolgung der Hausinstallationsvorschriften des SEV jede Gewähr für Betriebssicherheit und Gefahrlosigkeit der Hochspannungs-Fluoreszenzröhren geboten ist, und macht einige Angaben über deren Anwendung.

Après un court aperçu des différences existant entre les tubes fluorescents à haute et à basse tension, l'auteur expose l'histoire, la construction et les caractéristiques permettant de reconnaître la qualité des tubes fluorescents à haute tension. Il décrit également leur fonctionnement et le réglage du flux lumineux. Un tableau, se rapportant au branchement des tubes, donne d'intéressantes indications quant au rapport entre leur longueur et la tension d'allumage. Pour terminer, l'auteur mentionne qu'en respectant les Prescriptions de l'ASE sur les installations intérieures, toute garantie est donnée pour le bon fonctionnement des installations et éviter tout danger. L'article se termine par quelques indications sur l'emploi des tubes fluorescents à haute tension.

### Allgemeines

Die überragende Bedeutung der Fluoreszenzröhre als Beleuchtungsmittel ist heute in Fachkreisen unbestritten. Schon während des Krieges wurden die neuen, leistungsfähigen Fabrikationsbetriebe des Auslandes fast ausschliesslich mit Fluoreszenzröhren beleuchtet. Dadurch konnten nicht nur die günstigsten Sehbedingungen für die Nacharbeit, sondern auch bedeutende Einsparungen an elektrischer Energie erzielt werden. Auch in der Schweiz werden Beleuchtungsanlagen mit Fluoreszenzröhren

in immer grösserer Zahl und von erheblichem Umfang erstellt.

Fluoreszenzröhren werden in zwei grundsätzlich verschiedenen Ausführungen hergestellt. Diese unterscheiden sich im konstruktiven Aufbau der Röhren und auch im elektrischen Betriebsgerät.

Hochspannungs-Fluoreszenzröhren werden von Fall zu Fall nach Mass (gerade oder beliebig gebogen, und unter Verwendung der sogenannten kalten Elektroden) fabriziert. Das Betriebsgerät ist ein Hochspannungs-Streufeldtransformator von 1000 bis